

大阪大学における アルファ線核医学治療薬 開発の現状

大阪大学大学院医学系研究科 核医学
渡部直史

第3回 Qissシンポジウム (2019年12月7日)

Today's topics

- α 線核医学治療の臨床の現状
- 阪大で開発中の α 線核医学治療薬
 - $[^{211}\text{At}] \text{NaAt}$: 難治性甲状腺分化がん
 - $[^{211}\text{At}]$ 標識アミノ酸誘導体: 高悪性度脳腫瘍
 - $[^{225}\text{Ac}] \text{FAPI-04}$: 膵癌、他

核医学診断・治療とは？

「診断」



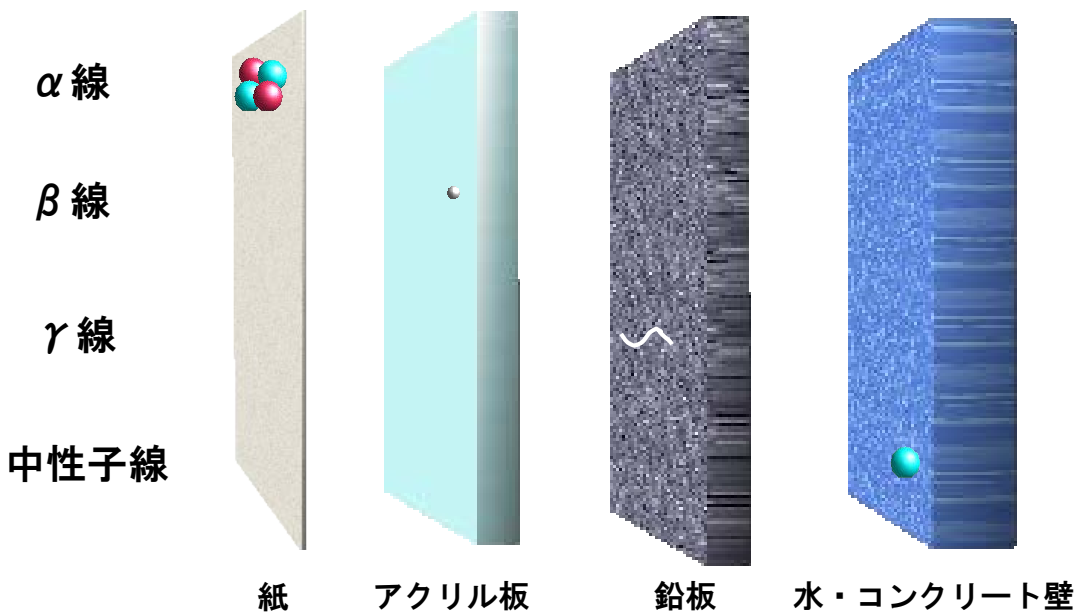
「治療」



放射線を出すプローブ(医薬品)を投与して、
目的の臓器や病変に集める

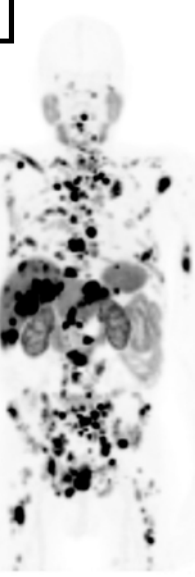
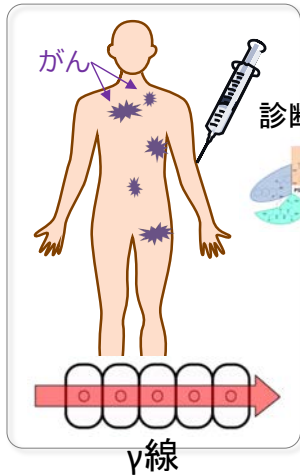
3

放射線の種類による透過力の違い

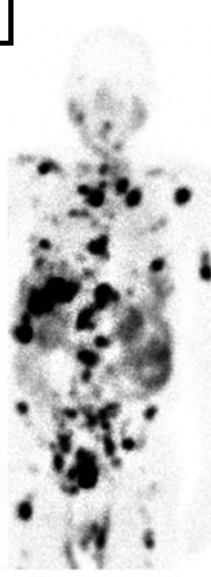
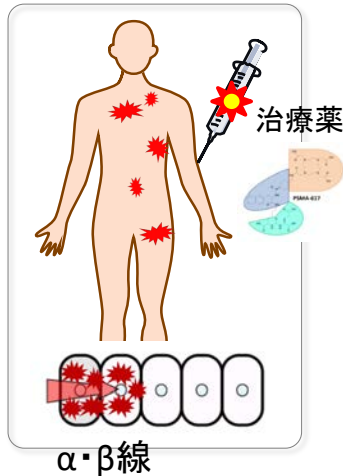


Theranostics (Therapy + Diagnosis)

「診断」



「治療」



体を通過するガンマ線で
画像診断

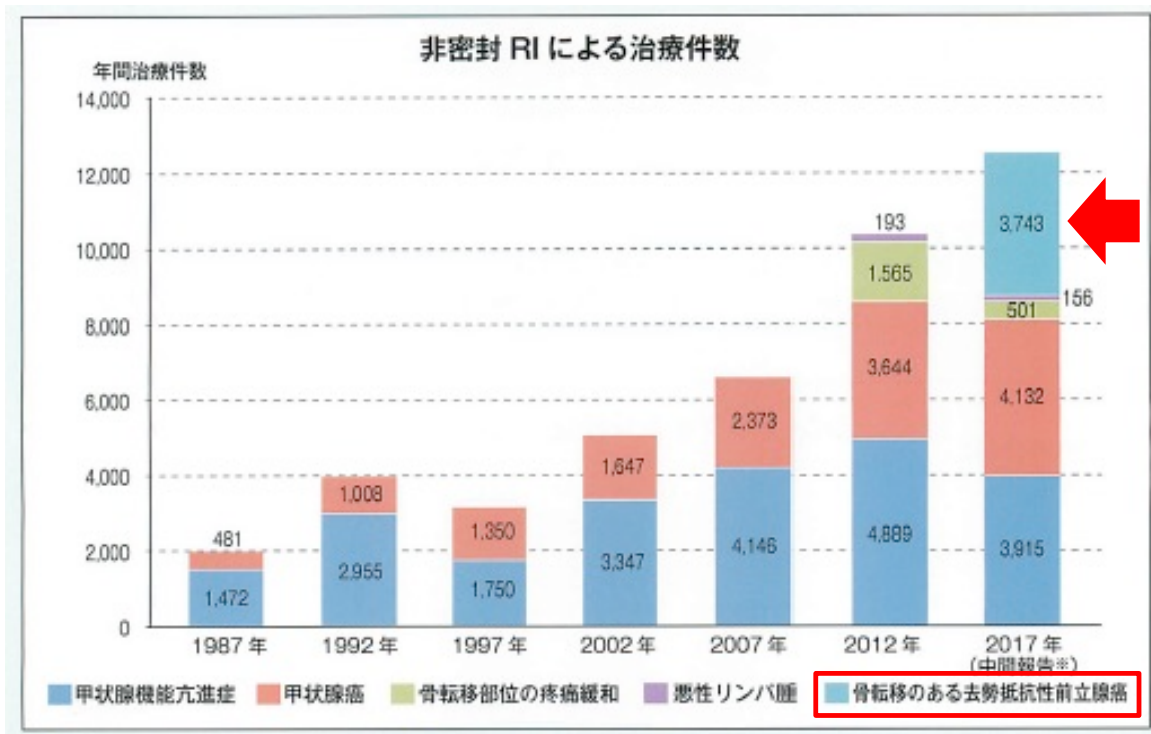
飛程の短い $\alpha \cdot \beta$ 線で
標的治療

(F. Giesel et al. EJNMMI. 2016) 5

 Osaka University
Graduate School of Medicine

α 線核医学治療について

国内の核医学治療の件数



Oct 16, 2017

National Survey of Nuclear Medicine Practice
in Japan by Japan Radioisotope Association

周期表

1	2	3	4	5	6	7	8	9	10	11	12	13	14	15	16	17	18
1 H 水素 1.008	2 He ヘリウム 4.0026	3 Li リチウム 6.922	4 Be ベリリウム 9.0122	5 B ボウ素 10.81	6 C 炭素 12.011	7 N 窒素 14.007	8 O 酸素 15.999	9 F フッ素 18.998	10 Ne ネオン 20.180	11 Na ナトリウム 22.990	12 Mg マグネシウム 24.305	13 Al アルミニウム 26.982	14 Si ケイ素 28.085	15 P リン 30.974	16 S 硫黄 32.06	17 Cl 塩素 35.45	18 Ar アルゴン 39.948
19 K カリウム 39.098	20 Ca カルシウム 40.078	21 Sc スカンジウム 44.956	22 Ti チタン 47.867	23 V バナジウム 50.942	24 Cr クロム 51.996	25 Mn マンガン 54.938	26 Fe 鉄 55.845	27 Co コバルト 58.933	28 Ni ニッケル 58.693	29 Cu 銅 63.546	30 Zn 亜鉛 65.38	31 Ga ガリウム 69.723	32 Ge ゲルマニウム 72.630	33 As ヒ素 74.922	34 Se セレン 78.971	35 Br 臭素 79.904	36 Kr クリプトン 83.798
37 Rb ルビジウム 85.468	38 Sr ストロンチウム 87.62	39 Y イットリウム 88.906	40 Zr ジルコニウム 91.224	41 Nb ニオブ 92.906	42 Mo モリブデン 95.95	43 Tc テクネチウム (98)	44 Ru ルテニウム 101.07	45 Rh ロジウム 102.91	46 Pd パラジウム 106.42	47 Ag 銀 107.87	48 Cd カドミウム 112.41	49 In インジウム 114.82	50 Sn スズ 116.71	51 Sb アンチモン 121.76	52 Te テルル 127.60	53 I ヨウ素 126.90	54 Xe キセノン 131.29
55 Cs セシウム 132.91	56 Ba バリウム 137.33	57-71 Cs セシウム 132.91	72 Ta タングステン 178.49	73 W タングステン 180.95	74 Re オスミウム 183.84	75 Os オスミウム 186.21	76 Ir イリジウム 190.23	77 Rh ロジウム 192.22	78 Pt 白金 195.08	79 Au 金 196.97	80 Hg 水銀 200.59	81 Tl タリウム 204.38	82 Pb 鉛 207.2	83 Bi ビスマス (209)	84 Po ポロニウム (210)	85 At アストチジウム (222)	86 Rn ラドン (222)
87 Fr フランシウム (223)	88 Ra ラジウム (226)	89-103 Fr ラザホージ (267)	104 Rf ラザホージ (268)	105 Db ドブニウム (269)	106 Sg シーボーギー (270)	107 Bh ボーリウム (271)	108 Hs ハッシウム (272)	109 Mt マイタル (278)	110 Ds ダームスタ (281)	111 Rg ラジオヌクライディウム (282)	112 Cn コベルニシ (285)	113 Nh ニホニウム (286)	114 Fl フレロビウム (289)	115 Mc モスコビウム (290)	116 Lv リヤモリウム (293)	117 Ts テンнесин (294)	118 Og オガノソン (294)

不安定な同位体を持つ元素については、最も半減期の長い同位体の質量数を括弧に示す。

周期表 デザインとインターフェイス著作権 © 1997 Michael Dayah, Plable.com 最新の更新した事 2017/06/16

57 La ランタン 138.91	58 Ce セリウム 140.12	59 Pr プラセオジ 140.91	60 Nd ネオジム 144.24	61 Pm プロメチウム (145)	62 Sm サマリウム 150.36	63 Eu ユウロピウム 151.96	64 Gd ガドリニウム 157.25	65 Tb テルビウム 158.93	66 Dy ジスマスロブ 162.50	67 Ho ホルミウム 164.93	68 Er エルビウム 167.26	69 Tm ツリウム 168.93	70 Yb イッテルビウム 173.05	71 Lu ルテチウム 174.97
89 Ac アクチニウム (227)	90 Th トリウム 232.04	91 Pa プロトアク 231.04	92 U フラン 238.03	93 Np ネオジウム (237)	94 Pu プロトニウム (244)	95 Am アメリシウム (243)	96 Cm カリオホリウム (247)	97 Bk バークリウム (247)	98 Cf カリホルニウム (251)	99 Es アイヌタ (252)	100 Fm フェルミウム (257)	101 Md メンデレビ (258)	102 No ノベリウム (259)	103 Lr ローレンシ (266)

"https://ja.wikipedia.org/wiki/

周期表



ゾーフィゴ[塩化ラジウム(^{223}Ra)注射液]

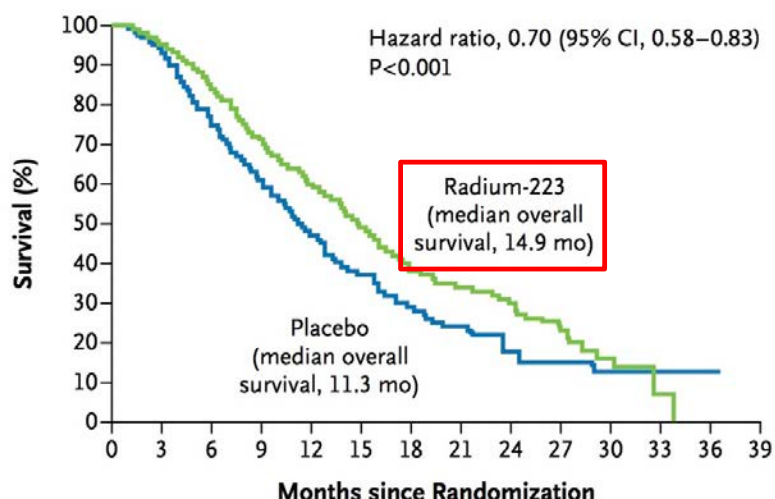
- アルファ線放出放射性医薬品(世界初)
- 適応: 骨転移のある去勢抵抗性前立腺癌(CRPC)
- 骨転移など骨代謝の亢進した部位に、ヒドロキシアパタイト複合体を形成して集積し、近接する腫瘍細胞等に対してDNA二重鎖切断等を誘発し、部位特異的に腫瘍増殖抑制作用を示す。
- Ra-223物理的半減期: 11.43日
- α線飛程: 100μm以下

<https://ja.wikipedia.org/wiki/>

9

^{223}Ra prolonged the overall survival

A Overall Survival

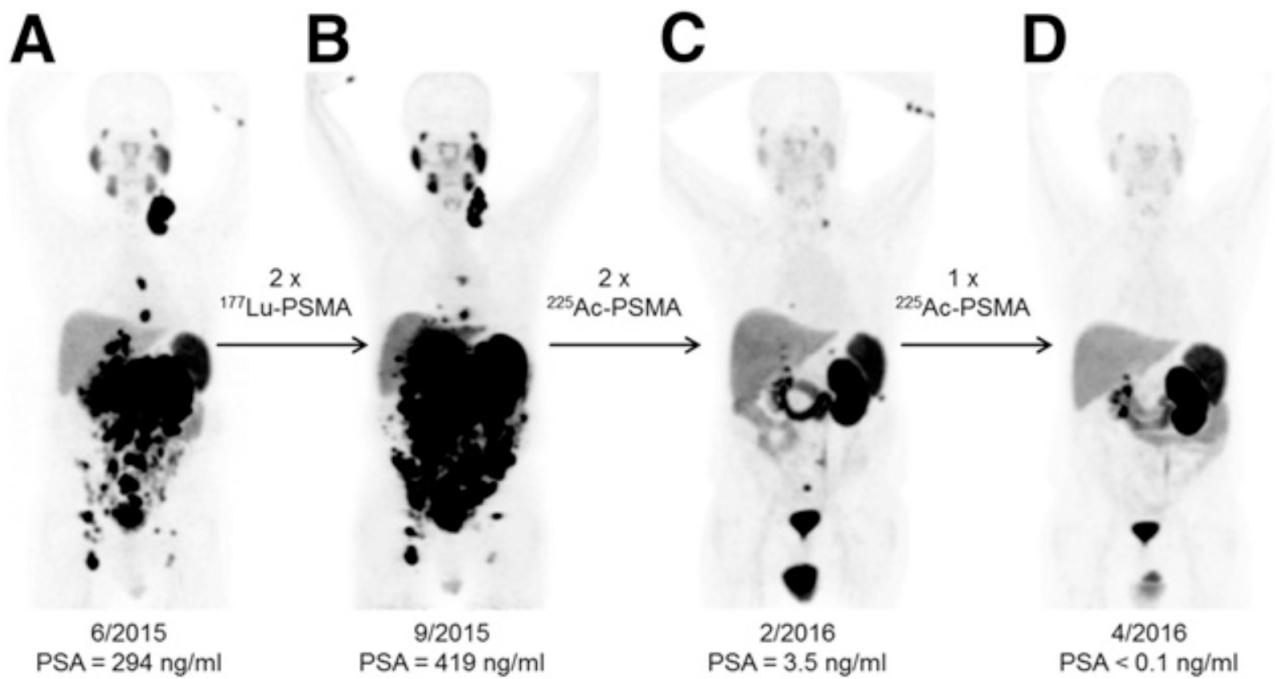


No. at Risk												
Radium-223	614	578	504	369	274	178	105	60	41	18	7	1
Placebo	307	288	228	157	103	67	39	24	14	7	4	2



(Parker C, et al. N Engl J Med. 2013) 10

アクチニウム(^{225}Ac)による α 線治療



(C.Kratochwil et al. JNM 2016)



大阪大学における α 線核医学治療薬の開発

- 難治性甲状腺癌の治療 -

医理核連携プロジェクトの紹介



アスタチン(²¹¹At)について

	1	2	3	4	5	6	7	8	9	10	11	12	13	14	15	16	17	18
1	1 H																	2 He
2	3 Li	4 Be																10 Ne
3	11 Na	12 Mg																18 Ar
4	19 K	20 Ca	21 Sc	22 Ti	23 V													15 P
5	37 Rb	38 Sr	39 Y	40 Zr	41 Nb													16 S
6	55 Cs	56 Ba	57 ~ 71	72 Hf	73 Ta													17 Cl
7	87 Fr	88 Ra	89 ~ 103	104 Rf	105 Db													18 Xe
																		53 I
																		83 Bi
																		84 Po
																		85 At
																		86 Rn
																		115
																		116
																		117
																		118

「アスタチン(²¹¹At)」

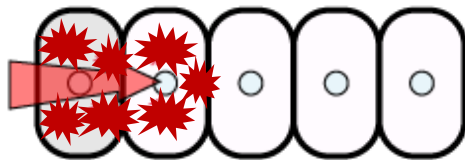
- ・アルファ線放出核種
- ・化学的性質はハロゲン →ヨウ素によく似た性質
- ・加速器で製造
 $^{209}\text{Bi} + ^4\text{He} \rightarrow ^{211}\text{At} + 2\text{n}$
- ・半減期 7.2 h

Astatine (At)

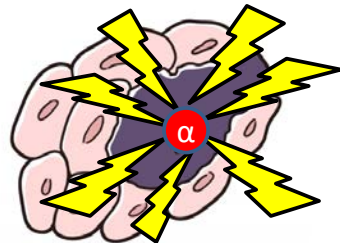
57 ~ 71 Lanthanoids	57 La	58 Ce	59 Pr	60 Nd	61 Pm	62 Sm	63 Eu	64 Gd	65 Tb	66 Dy	67 Ho	68 Er	69 Tm	70 Yb	71 Lu
89 ~ 103 Actinoids	89 Ac	90 Th	91 Pa	92 U	93 Np	94 Pu	95 Am	96 Cm	97 Bk	98 Cf	99 Es	100 Fm	101 Md	102 No	103 Lr

アルファ線粒子とベータ線の違い

アルファ線(原子核)

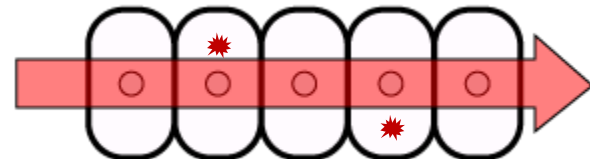


- ・飛程が短い
- ・与えるエネルギーが大きい

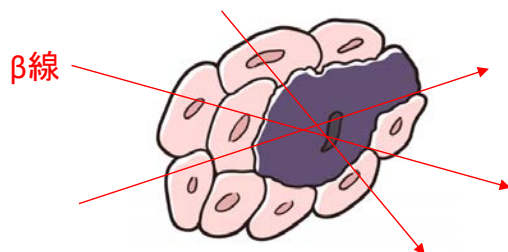


- ・がんの治療効果は大きい
- ・周囲の正常組織への影響が少ない

ベータ線(電子)



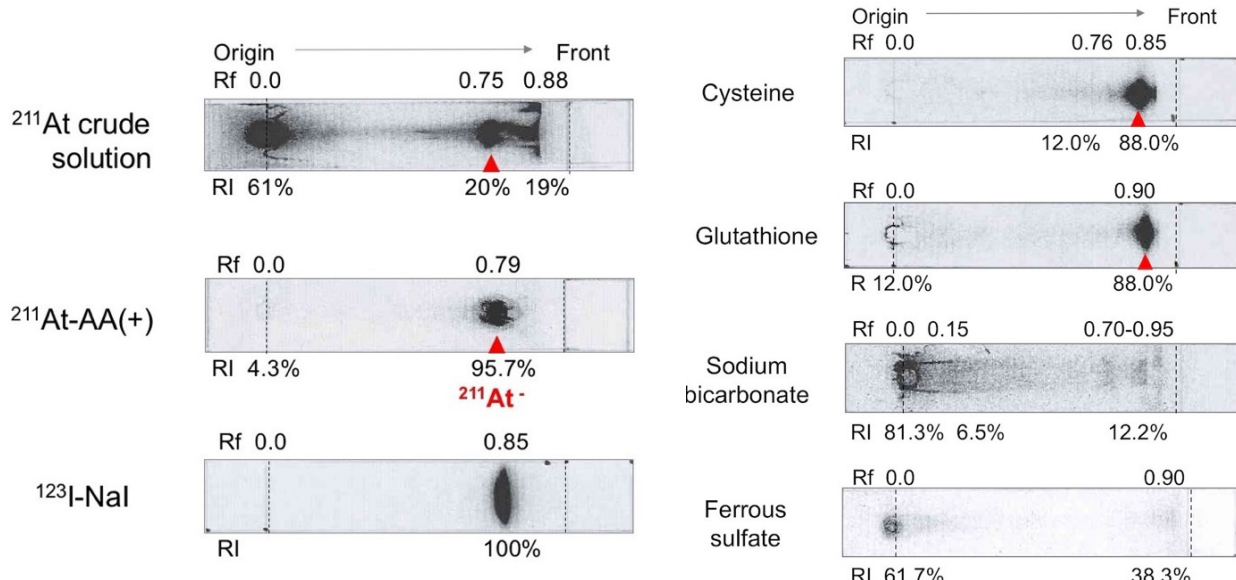
- ・飛程が長い
- ・与えるエネルギーが小さい



- ・がんの治療効果は中等度
- ・周囲の正常組織への影響がある

[^{211}At]NaAt : radiochemical purity

Effect of the reducing agents: ^{211}At solutions

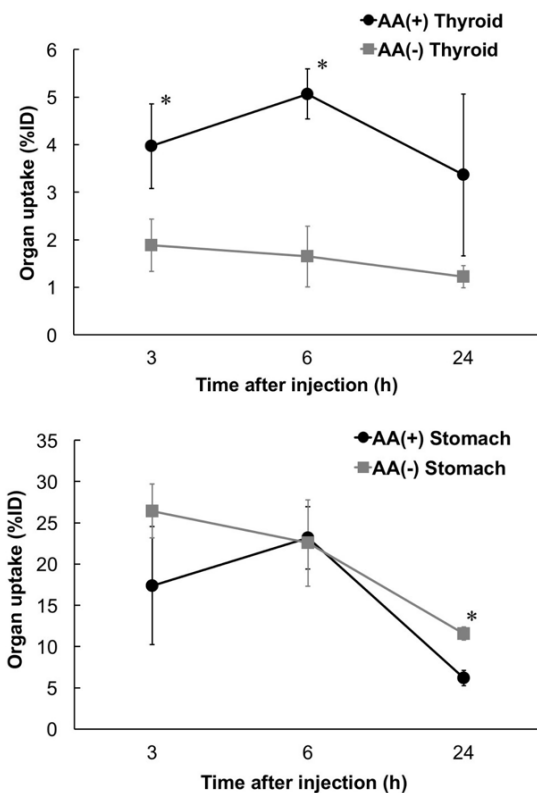
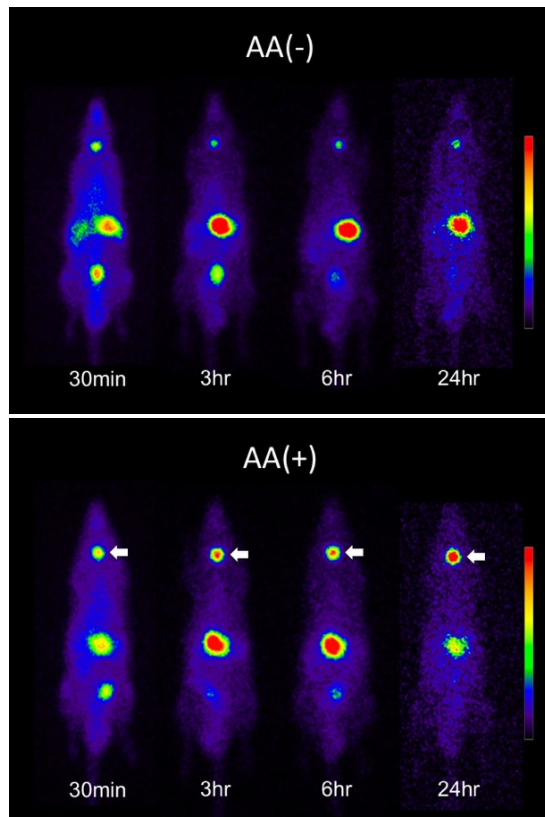


(AA: Ascorbic acid)



(Watabe T, et al. J Nucl Med. 2019)

[²¹¹At]NaAt : Effect of the ascorbic acid

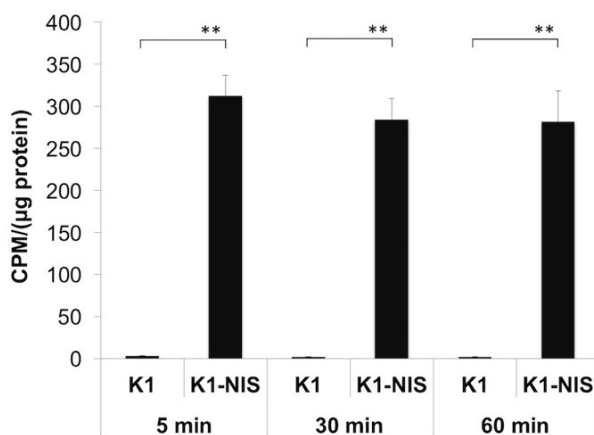


(Watabe T, et al. J Nucl Med. 2019)

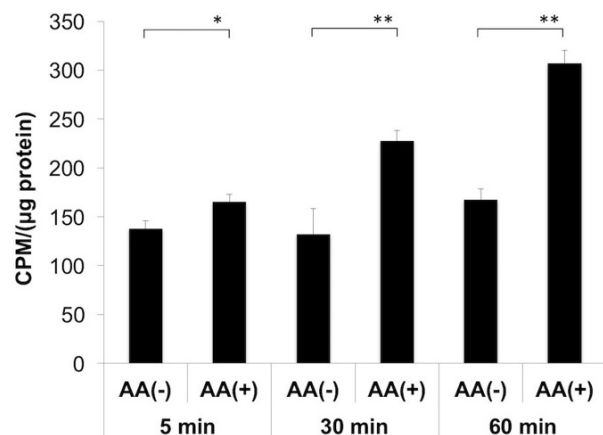
[²¹¹At]NaAt: cellular uptake (K1-NIS)

「甲状腺乳頭癌細胞を用いた取込実験」

K1 vs K1-NIS



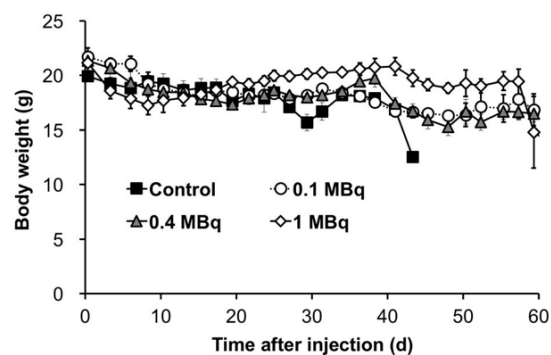
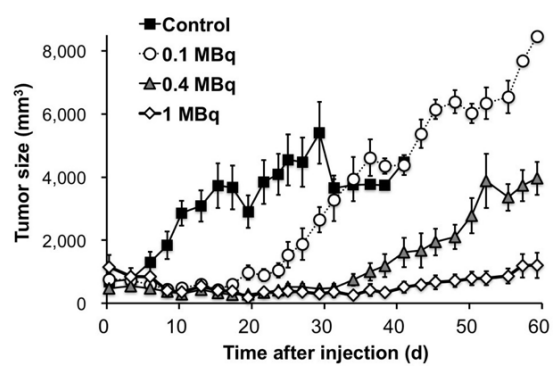
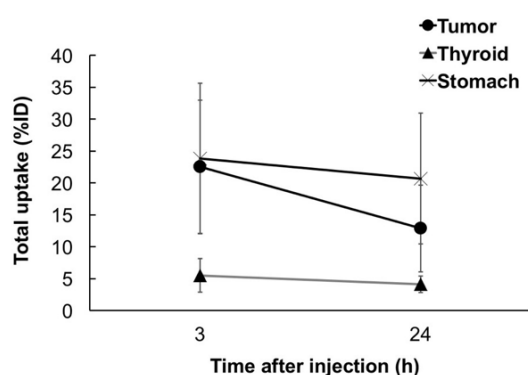
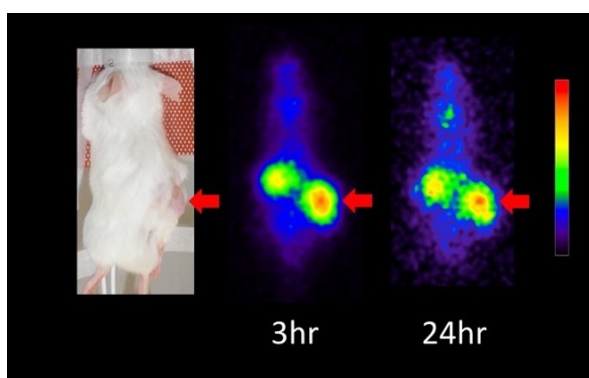
AA(-) vs AA(+)



NIS (Sodium /Iodide Symporter)

(Watabe T, et al. J Nucl Med. 2019)

[²¹¹At]NaAt: treatment effect (K1-NIS)

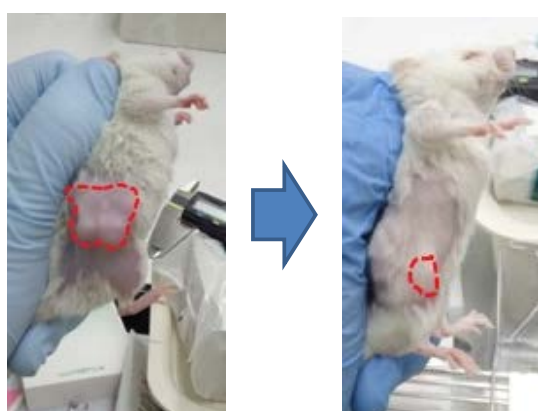


(Watabe T, et al. J Nucl Med. 2019)

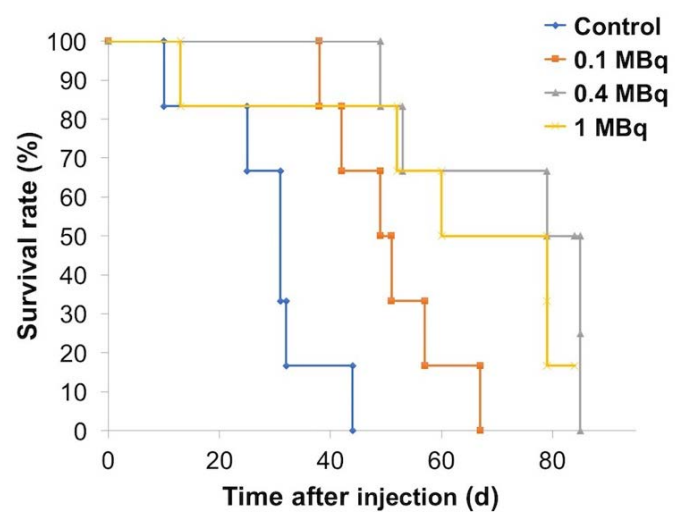
19

[²¹¹At]NaAt: treatment effect (K1-NIS)

K1-NIS xenograft model (human papillary thyroid carcinoma)



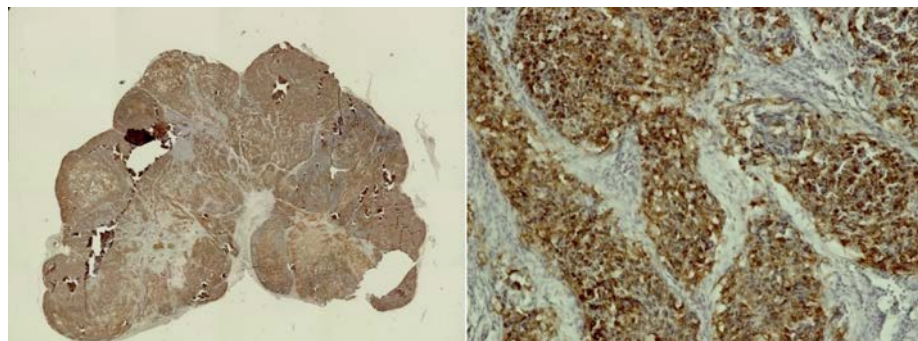
[²¹¹At]NaAt 1MBq [²¹¹At]NaAt 1MBq
3days 31days



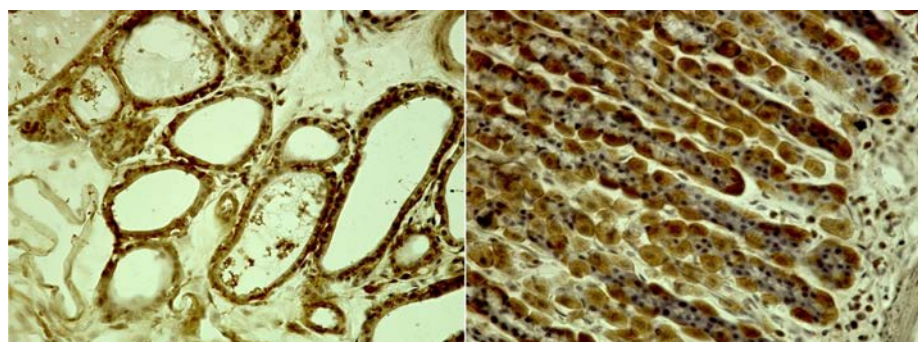
(Watabe T, et al. J Nucl Med. 2019) 20

Histology: NIS expression

K1-NIS
xenograft



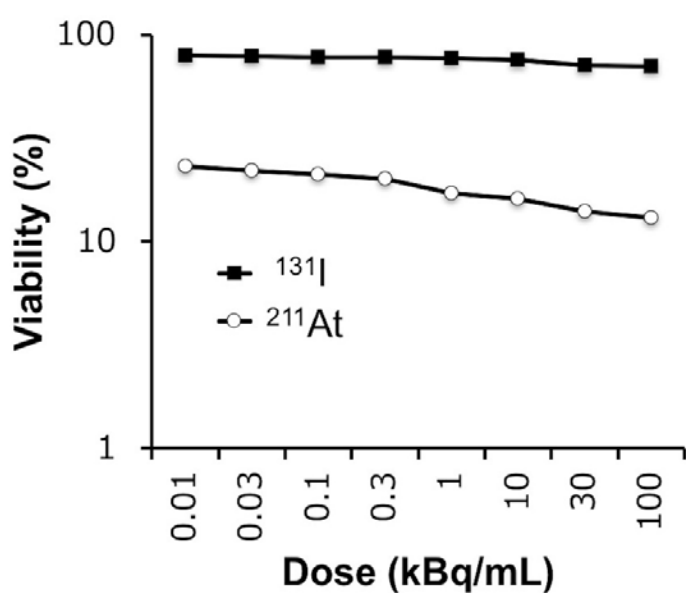
Thyroid
and
stomach



(Watabe T, et al. J Nucl Med. 2019) ²¹

[²¹¹At]NaAt: ¹³¹Iとの比較

Cellular viability assay using K1-NIS cells



(Watabe T, et al. J Nucl Med. 2019) ²²

プレスリリースと新聞掲載



体内から原子の力でがんを攻撃

～加速器を用いてがん治療薬を製造する新技術～

【研究成果のポイント】

- ◆ 加速器を用いて、がん治療効果の高いアルファ線を放出する治療薬の製造に成功。
 - ◆ 体外から放射線を当てるところなく、注射薬で全身のがん病巣の外来治療が可能に。
 - ◆ 通常の治療が効かない転移性甲状腺がんに対する画期的な治療となることが期待される。

• 3

大阪大学 大学院医学系研究科の渡部直史 助教、畠山順 教授(核医学)らの研究グループは、本学核医学研究センターの加速器¹ならびに同放 射線科学基盤機構の設備を利用して、高エネルギー 一粒子であるアルファ線を放出する注射薬(アヌタ²)³ナトリウム^{[At-211]NaI^(t))の製造に成功 しました。これまで、主にベータ線という放射線を用いて、がんに対する治療が行われましたが、十分な治療効果が得られないことがあります。}

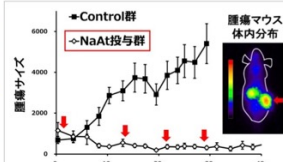


図1. エヌタチン製剤の投与による腫瘍縮小効果(左)と投与後日数(days)(右)

縮効果が確認されました(図1)。今後、多発転移のある進行甲状腺がんにおける画期的な治療法となることが期待されます。現在、大阪大学医学部附属病院での医師主導治験に向けて、準備が進められています。

ます。本研究成果は、米国科学誌「Journal of Nuclear Medicine」に、2月22日に公開されました。

17

これまでの放射性医薬品を用いた治療においては、ベータ線という放射線を用いた核医学治療が主

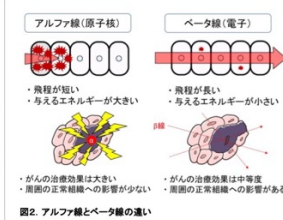
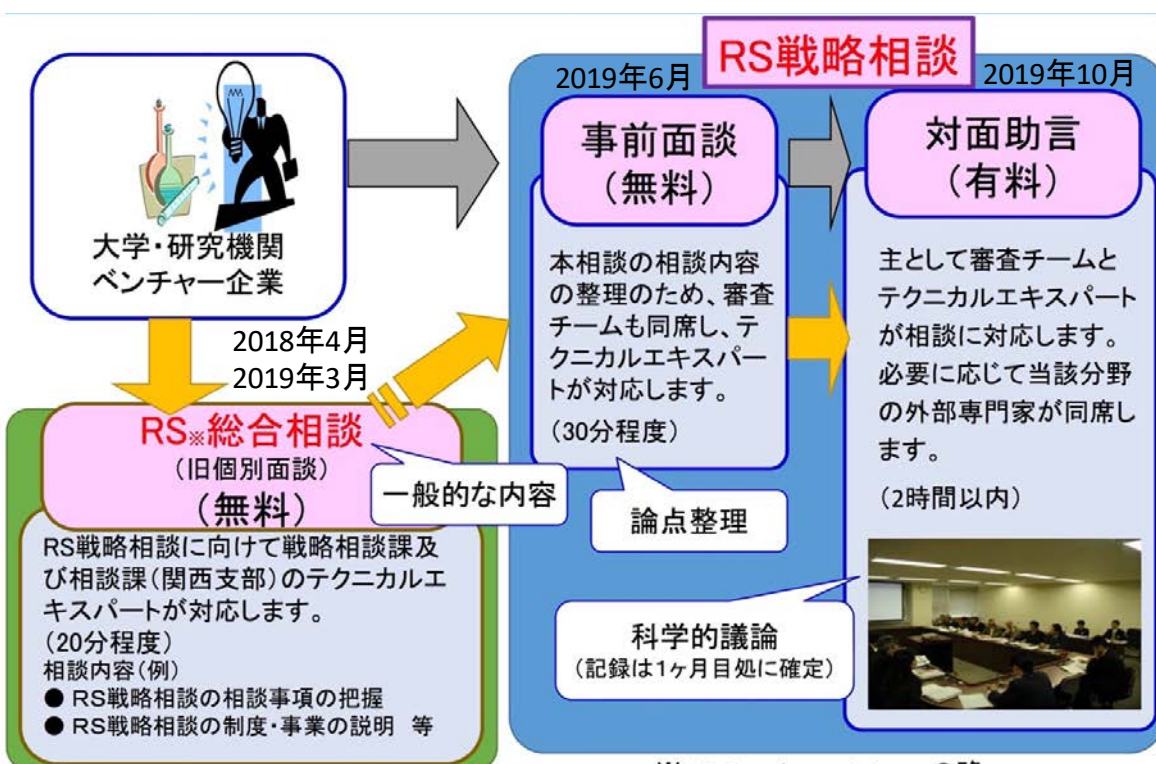


図2. アルファ線とベータ線の違い

学はアルファ線核種であるアスタチンの製造で世界をリードしてきました。

PMDA(医薬品医療機器総合機構)面談



※ RS: Regulatory Scienceの略

5. 相談手数料

1相談あたりの相談手数料は、下表のとおりです。

相談の区分	手数料額	別に定める要件を満たす大学・研究機関、ベンチャー企業に該当する場合の手数料額
医薬品戦略相談	1,541,600円	154,100円
医療機器戦略相談(注1)	874,000円	87,400円
再生医療等製品戦略相談	874,000円	87,400円
再生医療等製品等の品質及び安全性に係る相談(注2)	1,541,600円	154,100円
開発計画等戦略相談	73,600円	

(注1)体外診断用医薬品は、医療機器戦略相談の手数料を適用します。

(注2)治験計画の届出を行う前に当該製品の品質及び安全性に係る十分な確認を行うために必要な範囲で、複数日(複数回)に渡って相談を行う場合であっても、1相談分の手数料となります。

別に定める要件を満たす大学・研究機関、ベンチャー企業に該当する場合

国の施策により、日本発の革新的な医薬品、医療機器、再生医療等製品の実用化に向けて、以下の要件を満たす大学・研究機関、ベンチャー企業の方は低額の手数料で対面助言を受ける事が可能です。低額の手数料の適用をお考えの方は、審査マネジメント部審査マネジメント課(03-3506-9556)にご相談ください。

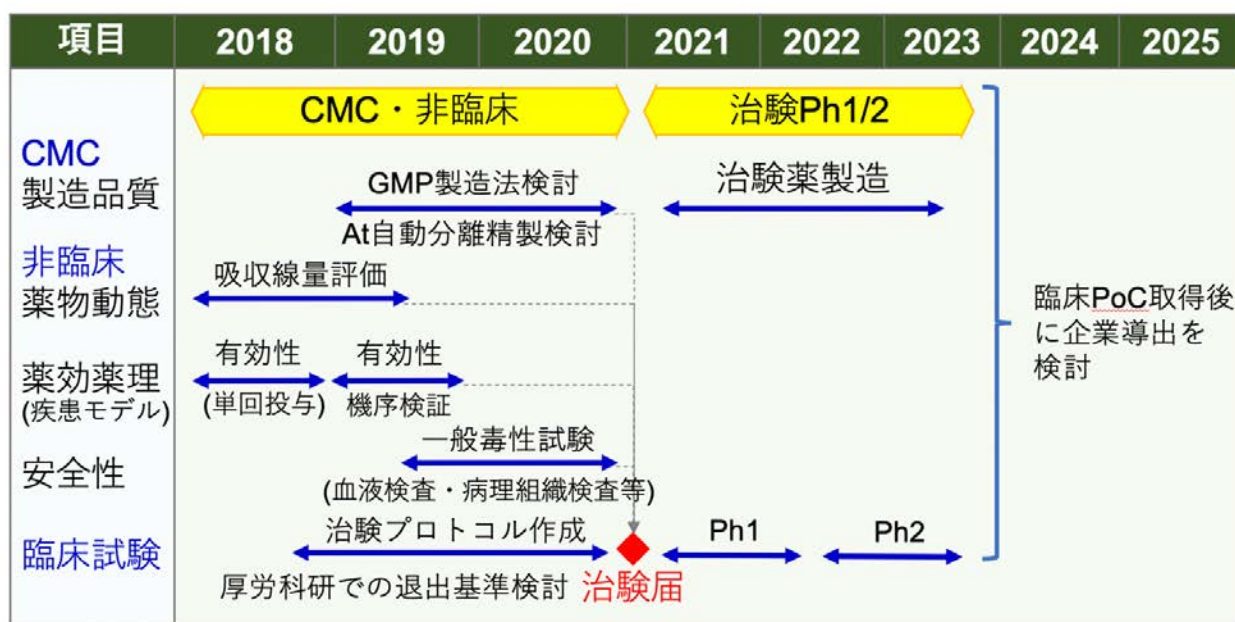
(低額要件)

原則として、下記の要件をすべて満たすこと。

• 大学・研究機関

- 国から当該シーズに係る下記の金額程度以上の研究費を受けていないこと
 - 医薬品戦略相談又は再生医療等製品等の品質及び安全性に係る相談: 9,000万円
 - 医療機器戦略相談又は再生医療等製品戦略相談: 5,000万円
- 当該シーズに係る製薬企業・医療機器等開発企業との共同研究契約等により、当該シーズの実用化に向けた研究費を当該企業から受けていないこと

臨床までのロードマップ



大阪大学における α線核医学治療薬の開発

- 高悪性度脳腫瘍の治療 -

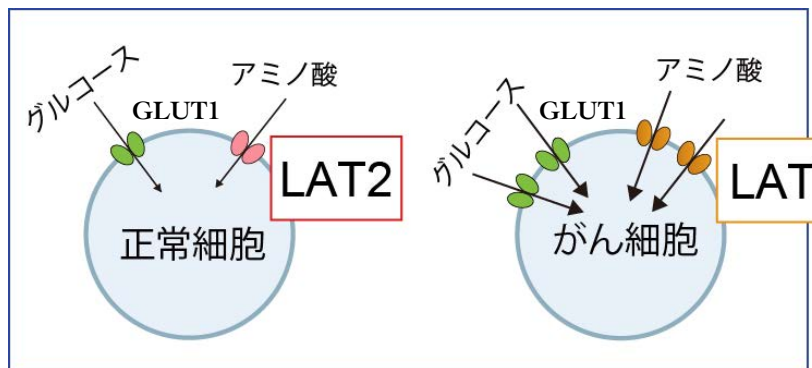
高悪性度の脳腫瘍について

組織名	グレード	頻度(%)	推定患者数	年齢	5年生存率
退形成性星細胞腫	III	3.8	764	49.3	41.1
退形成性乏突起膠腫	III	1.7	345	48.3	68.2
退形成性乏突起星細胞腫					
膠芽腫	IV	11.1	2217	58.8	10.1
中枢神経系悪性リンパ腫	IV	3.5	707	64.4	42.3

がん特異的トランスポーターLAT1について

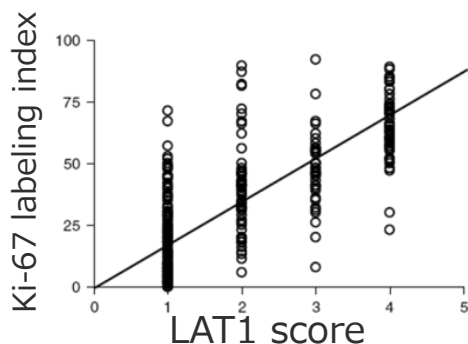
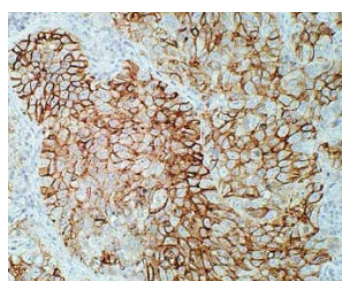
- L type amino acid transporter 1 (LAT1) -

- 1) 中性アミノ酸トランスポーターの1つ
- 2) 様々ながん細胞に多く発現しているが、正常組織にはほとんど発現していない。



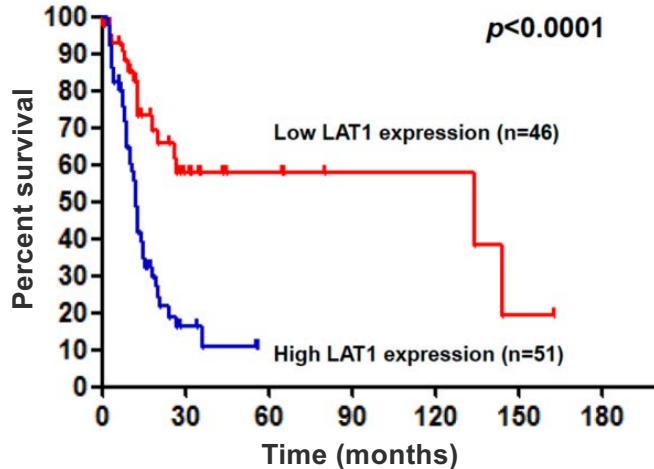
LAT1 (L-type amino acid transporter 1)

LAT1 免疫染色 (肺癌)



LAT1の発現は腫瘍増殖能の指標と良く相関し、患者の予後とも関係する。

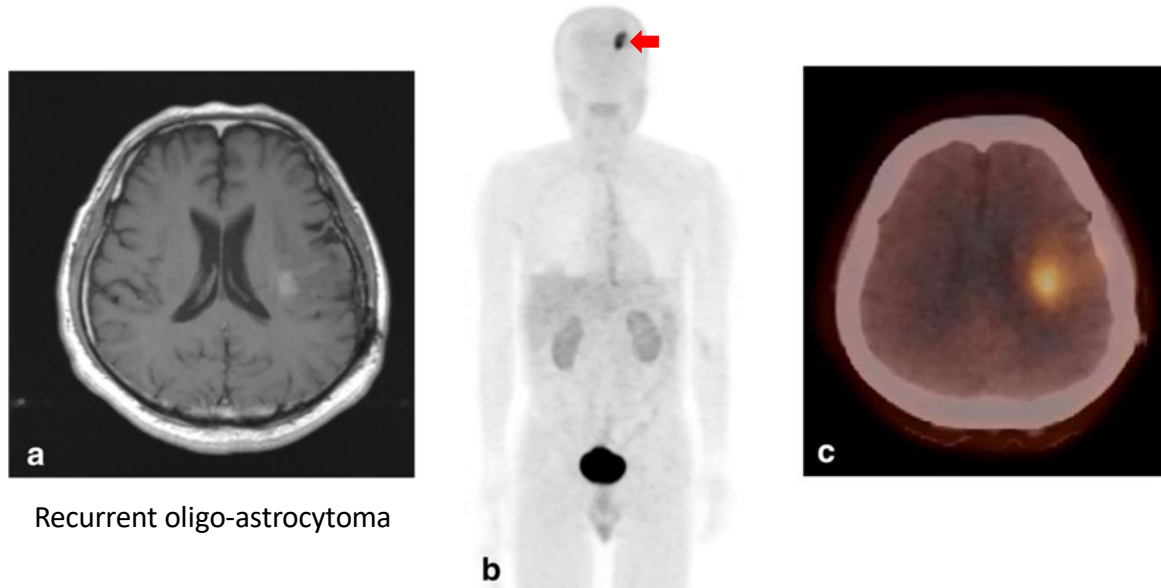
膵癌患者での生存率



*(P.Wongthai, et al. CancerScience 2015)

脳腫瘍患者におけるLAT1プローブの集積

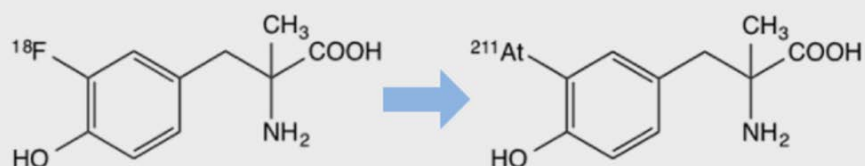
[¹⁸F]FBPA PET targeting LAT1
(L-type amino acid transporter 1)



Recurrent oligo-astrocytoma

(Rouaa Beshr, et al. Ann Nucl Med. 2018) ³¹

Alpha therapy targeting LAT1

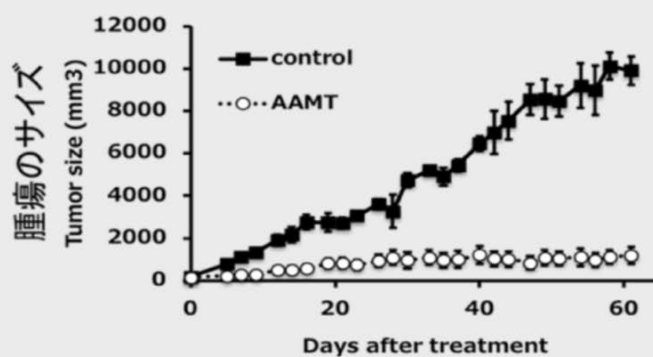


LAT1選択的PETプローブ

¹⁸F-FAMT

LAT1選択的α線治療薬

²¹¹At-AAMT



担がんマウスに0.5 MBq (70 f mol) を投与し効果を検討

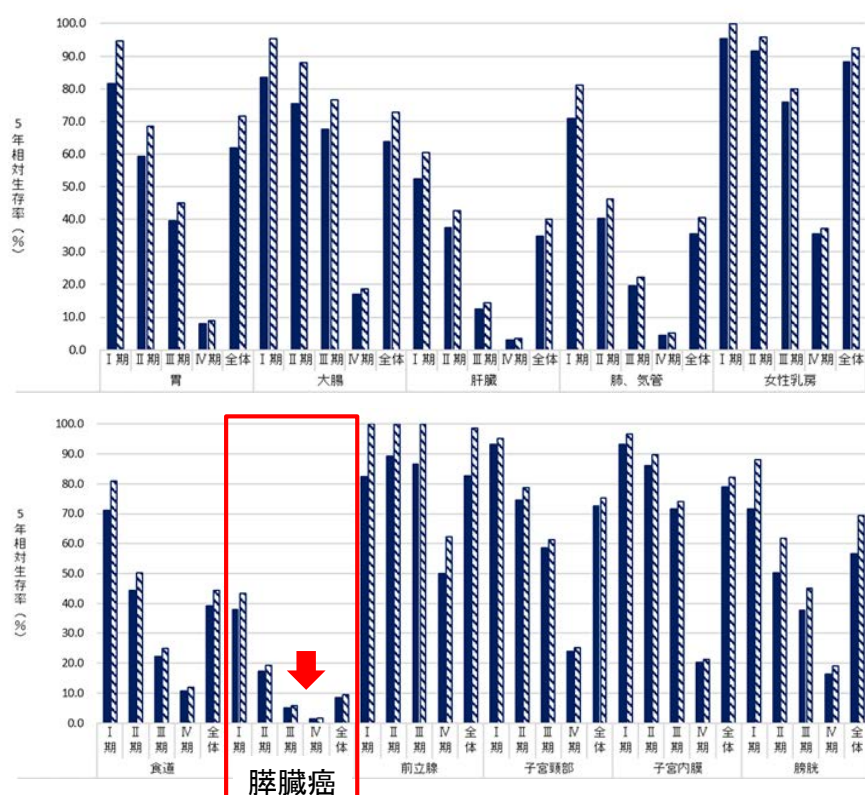
(Kaneda K, et al. From QiSS website)



大阪大学における α線核医学治療薬の開発

- 難治性膵癌の治療 -

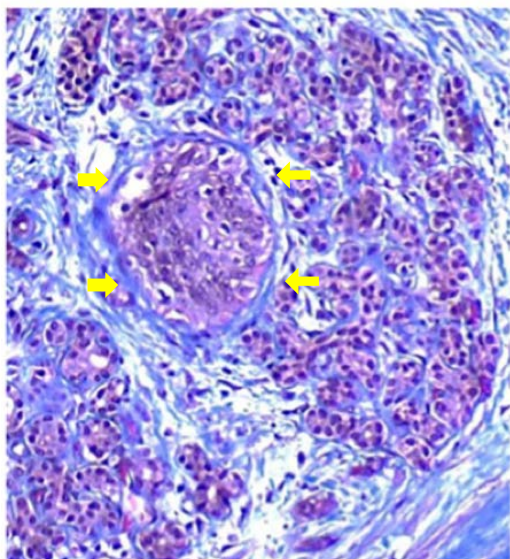
膵臓癌患者の予後: 5年相対生存率



(国立がん研究センター発表の全国院内がん登録データより)

膵臓癌にはがん間質が豊富

Pancreatic Cancer



Tumor cells ; Stroma

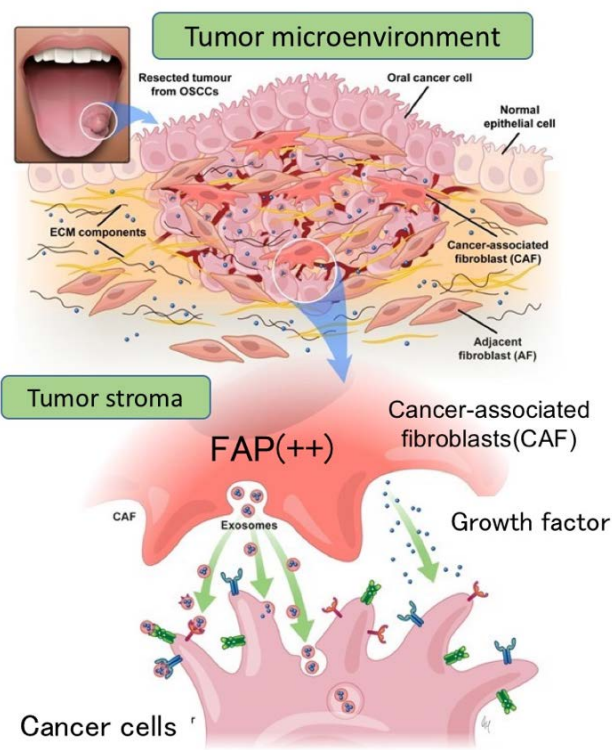


がん間質は抗がん剤が
腫瘍に届くのを防ぐ
バリアにもなっている

- 抗腫瘍薬の送達 ↓
- 治療抵抗性 ↑
- 有効性 ↓
- 副作用 ↑

(Meng H, et al. Adv Drug Deliv Rev. 2018)

新しいがん治療ターゲット: がん間質

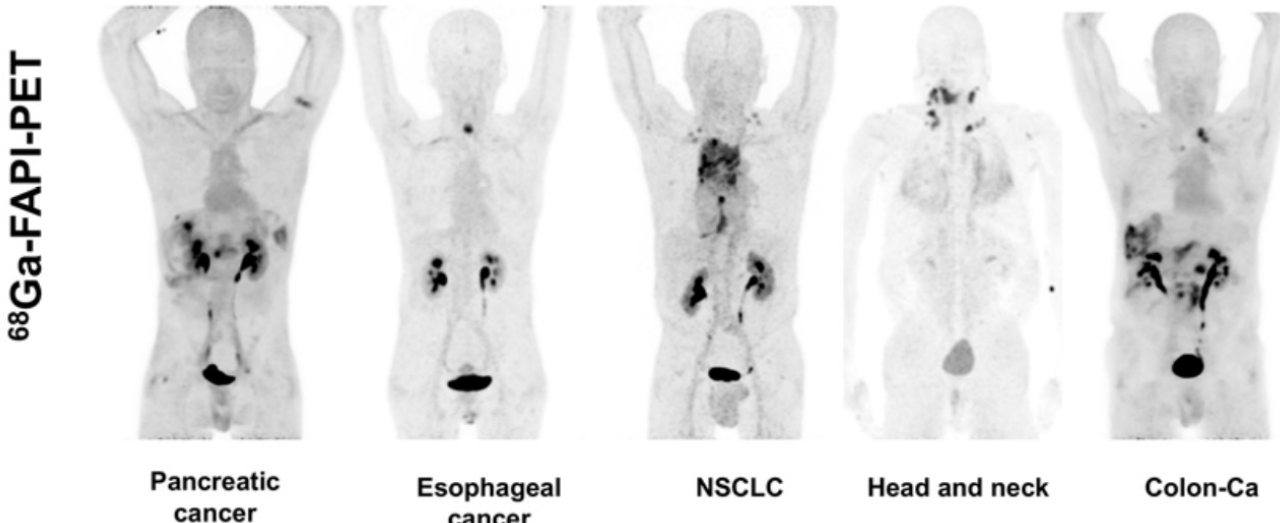


FAP:
Fibroblast
Activation
Protein



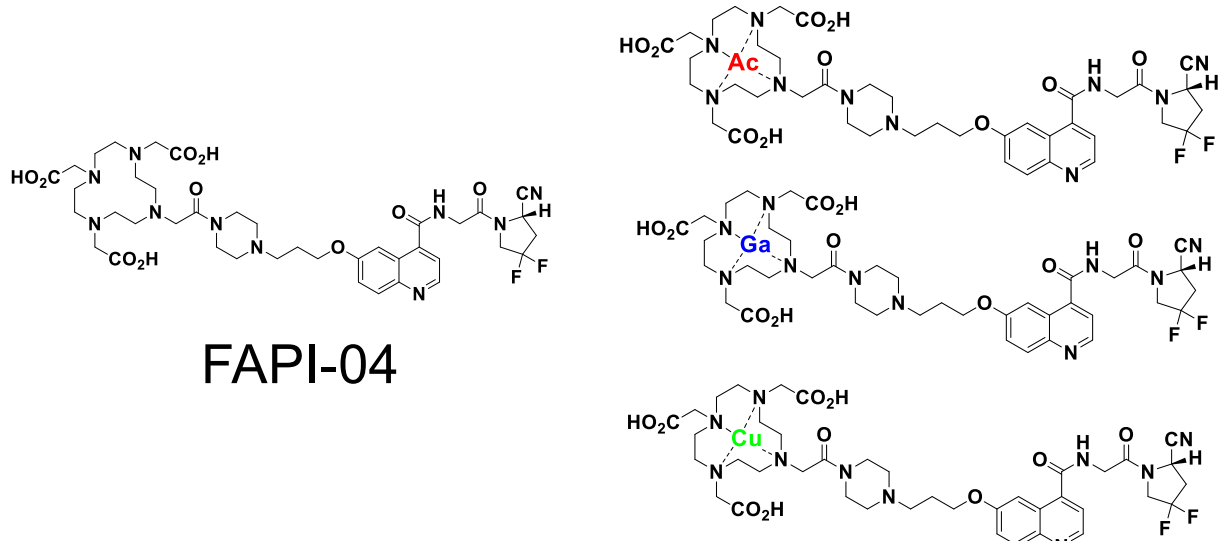
FAPI-PETによる新たながん画像診断

FAPI: Fibroblast activation protein inhibitor



(Giesel FL, et al. J Nucl Med. 60(3):386-392. 2019) 37

New theranostics target: FAPI



(Watabe T, et al. J Nucl Med. 2019)

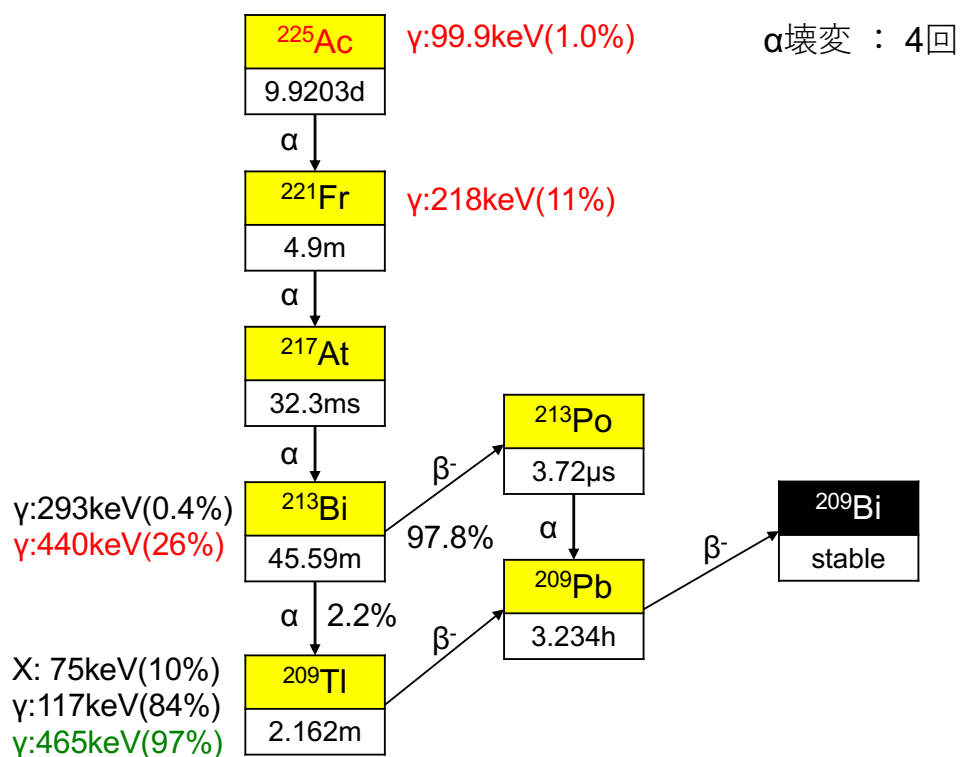
$^{64}\text{Cu}/^{68}\text{Ga}/^{225}\text{Ac}$ -FAPI-04 : 標識結果

RI	^{64}Cu	^{68}Ga	^{225}Ac
半減期	12.7hr	68 min	10 days
FAPI-04	30 μM	30 μM	300 μM
緩衝液	0.1M AcONH ₄	0.07M AcONa	0.07M AcONH ₄
pH	pH6.5	pH6.5	pH6.5
還元剤	1%Asc A	0.2% Asc A	1%Asc Na
反応温度	80°C	95°C	80°C
反応時間	1hr	20min	2hr
%RCP	88.5%	95.0%	96.9%



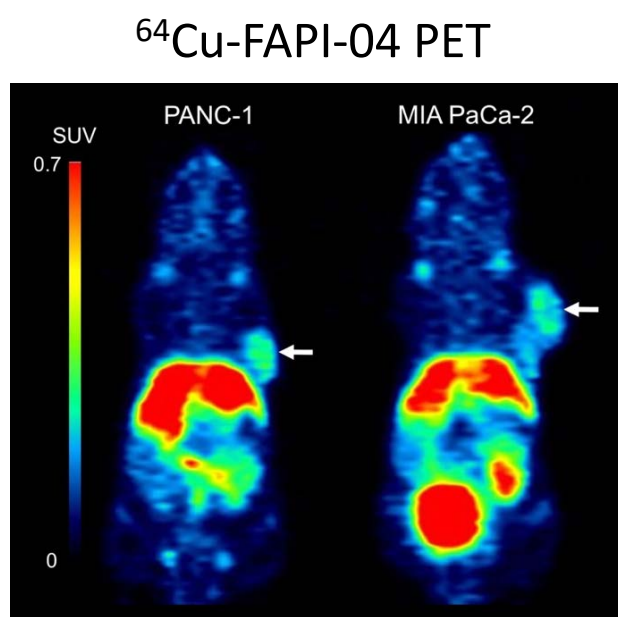
(Watabe T, et al. J Nucl Med. 2019.)

^{225}Ac : 核壊変スキーム

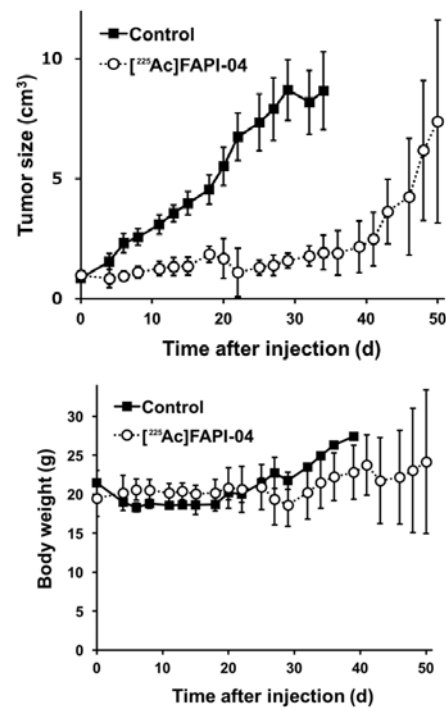


がん間質をターゲットにした α 線治療

$^{225}\text{Ac-FAPI-04}$ (膵臓癌モデル)



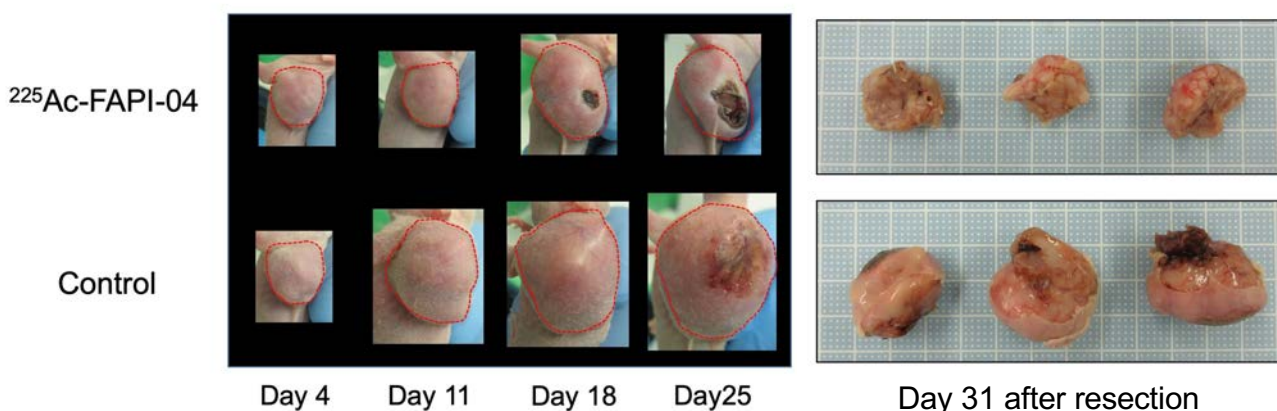
(ヒト膵臓癌細胞をヌードマウスに皮下移植)



(Watabe T, et al. J Nucl Med. 2019)

Alpha therapy targeting FAPI

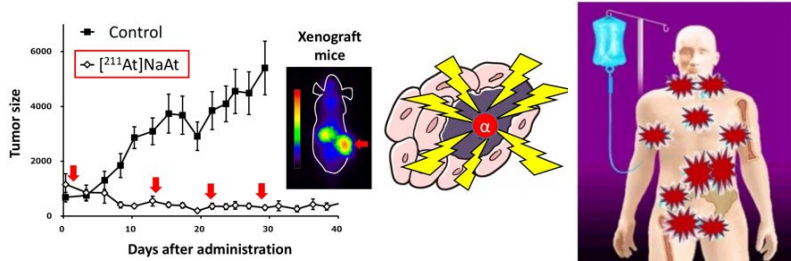
$^{225}\text{Ac-FAPI-04}$ in PANC-1 xenograft model



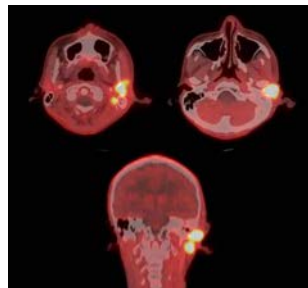
(Watabe T, et al. J Nucl Med. 2019)

まとめ

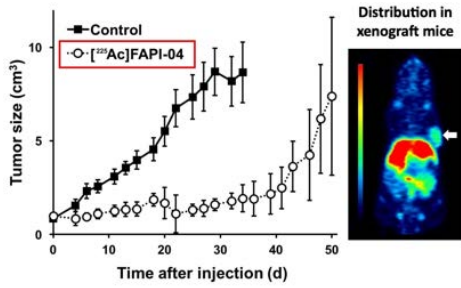
難治性甲状腺癌に対するアスタチン治療



PETを用いた 高精度のがん画像診断



新たな治療ターゲットを含む 治療効果の高い α 線治療



Financial Disclosure

- Joint research fund by Telix Pharma Japan
- The QiSS program of OPERA from the Japan Science and Technology Agency (JST) (JPMJOP1721)
- KAKENHI (B) (19H03602) and KAKENHI (C) (15K09955) from the Ministry of Education, Culture, Sports, Science and Technology (MEXT)



Acknowledgement

- ^{211}At was provided from the Research Center for Nuclear Physics at Osaka University, RIKEN, and QST via the short-lived RI supply platform.
- ^{225}Ac was provided by the ^{233}U cooperation project between JAEA and the Inter-University Cooperative Research Program of the Institute for Materials Research, Tohoku University (proposal no. 19K0053).



Osaka University
Graduate School of Medicine

2

Thank you for your attention.

Department of Nuclear Medicine

Hiroki Kato

Kazuhiro Ooe

Romanov Victor

Yuwei Liu

Fumihiro Soeda

Takanori Kobayashi

Osaka University Hospital

Mitsuaki Tatsumi

Sadahiro Naka

Takashi Kamiya

Institute for Radiation Science

Yoshifumi Shirakami

Kazuko Kaneda

Atsushi Toyoshima

RI center

Kojiro Nagata

Takashi Yoshimura

Tohoku University

Kenji Shirasaki

Department of Molecular Imaging in Medicine

Eku Shimosegawa

Keiko Matsunaga

Research Center for Nuclear Physics

Jun Hatazawa

Mitsuhiko Fukuda

Takashi Nakano

Graduate School of Science

Atsushi Shinohara

Department Bio-system Pharmacology

Yoshikatsu Kanai

University Hospital Heidelberg

Thomas Lindner

Uwe Haberkorn

Clemens Kratochwil

Frederik Giesel